

# EQUAZIONE DI SCHRODINGER STAZIONARIA

- Equazione di Schrodinger stazionaria;
  - \* la particella soggetta ad un gradino di potenziale;
  - \* la particella soggetta a potenziale rettangolare;
  - \* modello fusione nucleare;
  - \* modello nucleare e la fissione

# LA PARTICELLA SOGGETTA AD UN GRADINO DI POTENZIALE (L'effetto TUNNEL)

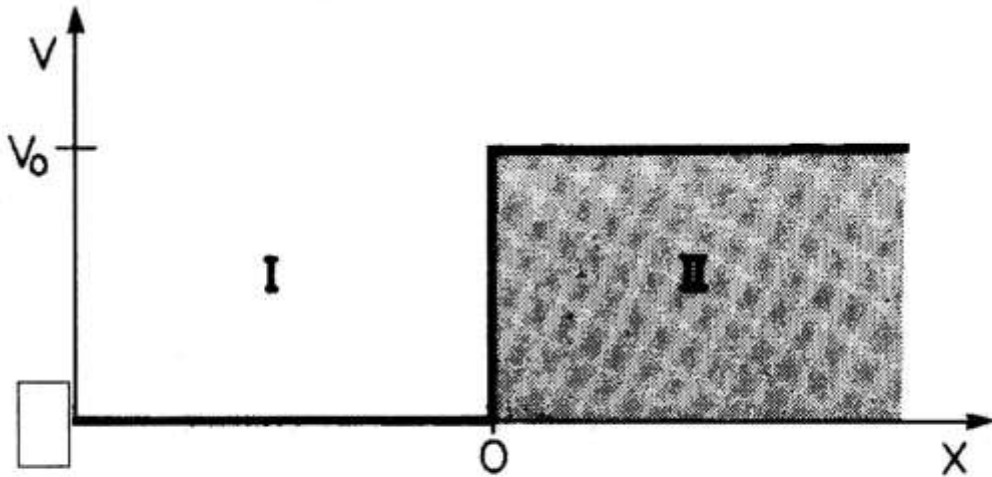


Figure 4.6. Finite potential barrier.

Consideriamo una particella di massa  $m$  che si “propaga” nella direzione positiva dell’asse  $x$  e incontra una barriera di potenziale di altezza  $V_0$ .

Possiamo dividere l’asse  $x$  in due regioni (I) e (II) e scriviamo l’operatore hamiltoniano per le due regioni:

$$\hat{H}_I = \frac{\hat{p}^2}{2m} \quad x < 0$$

$$\hat{H}_{II} = \frac{\hat{p}^2}{2m} + V_0 \quad x > 0$$

L'equazione di Schrodinger stazionaria diventa:

$$(I) \quad \frac{d^2\Psi}{dx^2} + \frac{2m}{\hbar^2} E\Psi = 0 \quad x < 0$$

$$(II) \quad \frac{d^2\Psi}{dx^2} + \frac{2m}{\hbar^2} (E - V_0)\Psi = 0 \quad x > 0$$

Le soluzioni per le due regioni sono:

$$(I) \quad \Psi_I(x) = Ae^{i\alpha x} + Be^{-i\alpha x}$$

$$\alpha = \sqrt{\frac{2mE}{\hbar^2}}$$

$$(II) \quad \Psi_{II}(x) = Ce^{i\beta x} + De^{-i\beta x}$$

$$\beta = \sqrt{\frac{2m(E - V_0)}{\hbar^2}}$$

Il caso più interessante è quando  $V_0 > E$   
(cioè quando la particella classica sarebbe confinata  
nella regione (I), semiasse  $x < 0$ ).

In questa situazione  $\alpha \in R; \beta \in C$

e definendo 
$$\gamma = \sqrt{\frac{2m}{\hbar^2} (V_0 - E)}$$

$$\Psi_{II}(x) = Ce^{-\gamma x} + De^{\gamma x}$$

Nel caso quantistico la particella ammette funzioni  
d'onda non nulle in tutto l'asse  $x$ .

Le costanti A,B,C,D delle soluzioni vengono  
determinate dalle condizioni:

- 1) le funzioni d'onda devono essere continue e  
derivabili in tutto il dominio (quindi si deve  
garantire la continuità di  $\Psi$  e della sua  
derivata in  $x=0$  e se ne deve evitare la divergenze  
per  $x$  tendente ad infinito;
- 2) le funzioni d'onda devono essere normalizzate.

Da cui  $\Psi_I(0) = \Psi_{II}(0)$

$$\left. \frac{d\Psi_I(x)}{dx} \right|_0 = \left. \frac{d\Psi_{II}(x)}{dx} \right|_0$$

$$\int_{-\infty}^{+\infty} |\Psi_I(x) + \Psi_{II}(x)|^2 dx = 1$$

Dalla terza si deduce subito  $D=0$

La soluzione diventa:

$$(I) \quad \Psi_I(x) = Ae^{i\alpha x} + Be^{-i\alpha x}$$

$$\alpha = \sqrt{\frac{2mE}{\hbar^2}}$$

$$(II) \quad \Psi_{II}(x) = Ce^{-\gamma x}$$

$$\gamma = \sqrt{\frac{2m(V_0 - E)}{\hbar^2}}$$

con

$$B = \frac{(i\alpha + \gamma)}{(i\alpha - \gamma)} A$$

$$C = \frac{2i\alpha}{(i\alpha - \gamma)} A$$

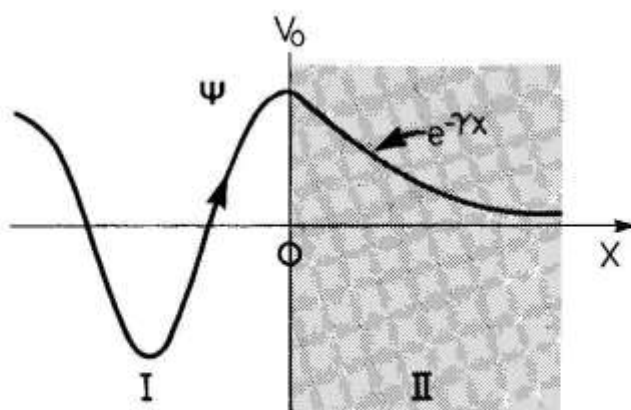
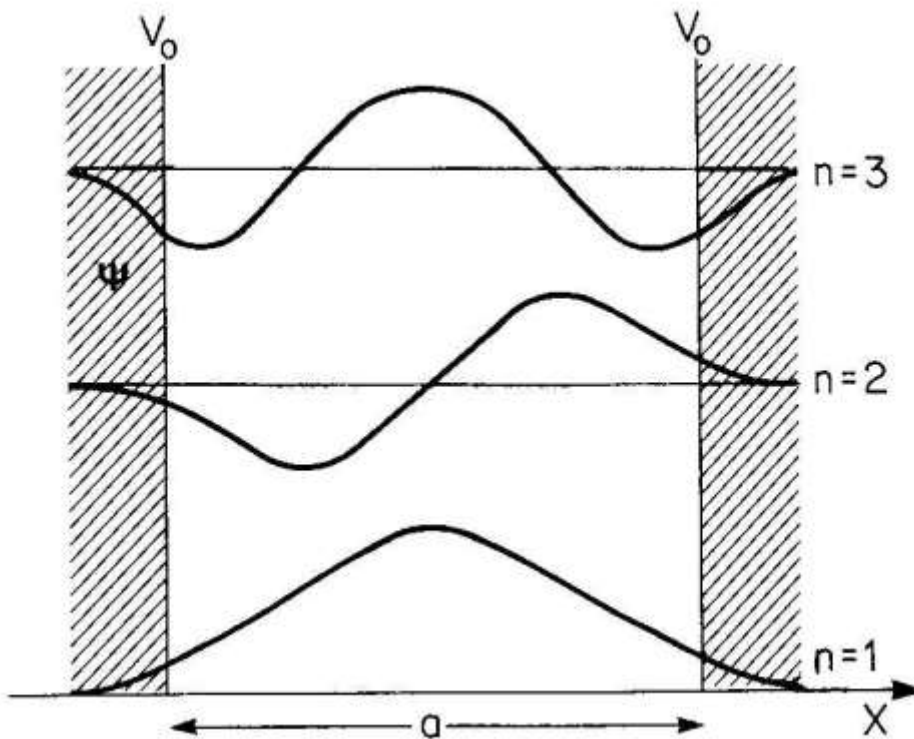


Figure 4.7.  $\psi$ -Function meeting a potential barrier.

Il fenomeno quantistico in cui una particella può entrare in una zona di spazio in cui il potenziale è maggiore dell'energia totale (non previsto dalla meccanica classica) è detto **EFFETTO TUNNEL**.

## Buca di potenziale a pareti finite

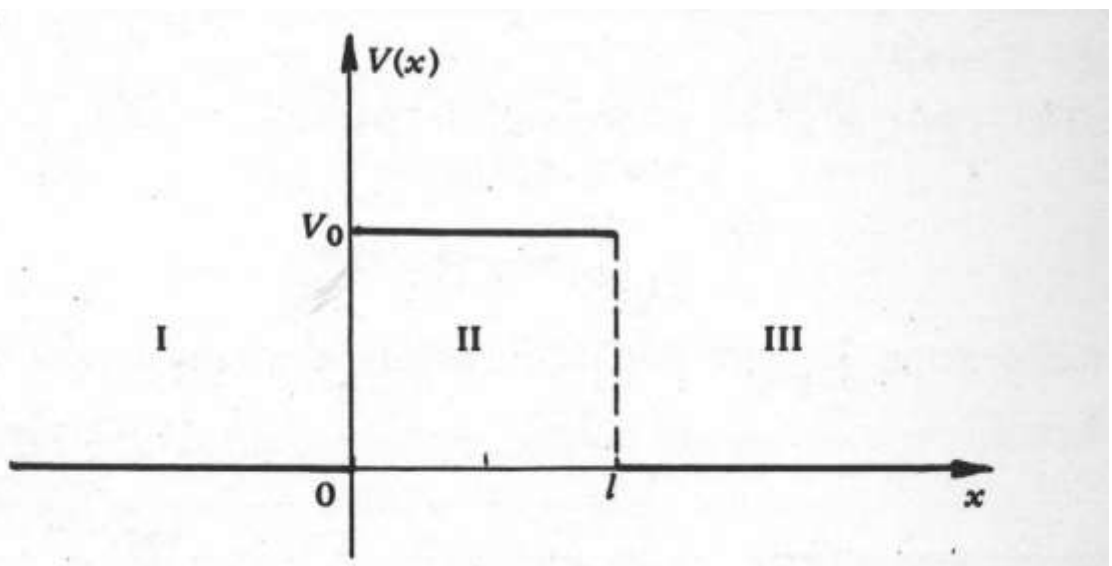
Come conseguenza dell'effetto tunnel una particella confinata in una buca di potenziale rettangolare a pareti finite può avere probabilità finita di uscire dalla buca anche se la sua energia totale  $E$  è minore dell'altezza  $V_0$  della barriera.



In figura sono mostrate le funzioni d'onda  $\Psi_n$ , ottenute risolvendo l'equazione di Schrodinger stazionaria, per alcuni livelli energetici con la condizione  $E < V_0$ .

Vedremo la soluzione in seguito.

# Particella soggetta ad una barriera di potenziale rettangolare



Consideriamo il caso in cui una particella di massa  $m$  è soggetta ad un potenziale

$$V(x) = \begin{cases} 0 & x < 0; \quad x > l \\ V_0 & 0 < x < l \end{cases}$$

Possiamo scrivere l'equazione di Schrodinger stazionaria per le tre regioni (I), (II), (III)

$$(I) - (III) \quad \frac{d^2\Psi}{dx^2} + \frac{2m}{\hbar^2} E\Psi = 0$$

$$(II) \quad \frac{d^2\Psi}{dx^2} + \frac{2m}{\hbar^2} (E - V_0)\Psi = 0$$



Consideriamo dapprima le regioni (I) e (III)

$$\frac{d^2\Psi}{dx^2} + k^2\Psi = 0 \qquad k = \sqrt{\frac{2m}{\hbar^2} E}$$

$$\Psi_I(x) = Ae^{ikx} + Be^{-ikx} \qquad x < 0$$

Sovrapposizione dell'onda progressiva e dell'onda regressiva in (I).

$$\Psi_{III}(x) = Ce^{ikx} \qquad x > l$$

Onda progressiva trasmessa dalla barriera rettangolare in (III).

Consideriamo ora la regione (II)

$$\frac{d^2\Psi}{dx^2} + \beta^2\Psi = 0 \qquad \beta = i\gamma = i\sqrt{\frac{2m}{\hbar^2} (V_0 - E)}$$

se

$$E < V_0 \Rightarrow \gamma > 0$$

$$\Psi_{II}(x) = Ge^{\gamma x} + Fe^{-\gamma x}$$

$$0 < x < l$$

Imponendo le condizioni di continuità per

$$\Psi(x) \text{ e } \frac{d\Psi}{dx}$$

in  $x=0$  e  $x=l$  si possono calcolare i coefficienti  $A, B, C, F, G$ .

Le condizioni da porre sono

$$\Psi_I(0) = \Psi_{II}(0)$$

$$\left. \frac{d\Psi_I(x)}{dx} \right|_0 = \left. \frac{d\Psi_{II}(x)}{dx} \right|_0$$

$$\Psi_{II}(l) = \Psi_{III}(l)$$

$$\left. \frac{d\Psi_{II}(x)}{dx} \right|_l = \left. \frac{d\Psi_{III}(x)}{dx} \right|_l$$

$$\int_{-\infty}^{+\infty} \left| \Psi_I(x) + \Psi_{II}(x) + \Psi_{III}(x) \right|^2 dx = 1$$

Da cui si ottiene

$$\frac{C}{A} = \frac{4ik\gamma e^{(\gamma-ik)l}}{(\gamma+ik)^2 - (\gamma-ik)^2 e^{2\gamma l}}$$
$$\frac{B}{A} = \frac{(\gamma^2 + k^2)(1 - e^{2\gamma l})}{(\gamma+ik)^2 e^{2\gamma l} - (\gamma-ik)^2}$$

Notare che

$\left| \frac{C}{A} \right|^2$       probabilità che l'onda venga trasmessa

$\left| \frac{B}{A} \right|^2$       probabilità che l'onda venga riflessa

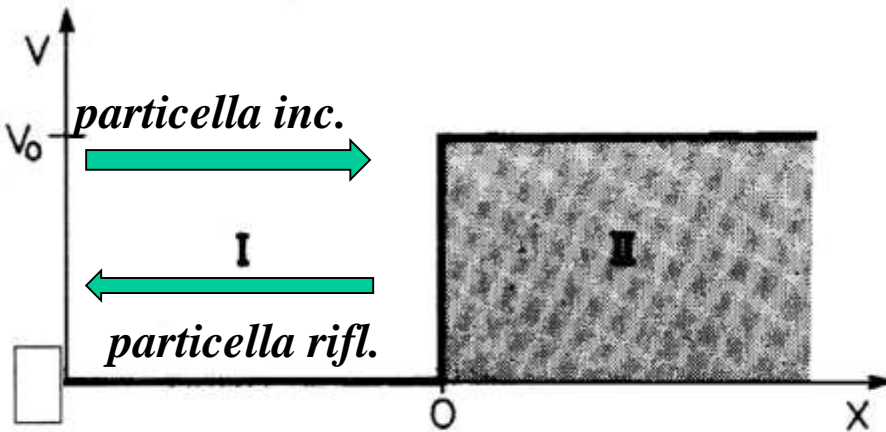
Il risultato più importante è che, diversamente dal caso classico, anche se l'energia totale  $E$  della particella è minore del potenziale  $V_0$  della barriera su cui incide

$$E < V_0$$

**la particella ha probabilità non nulla di superarla.**

**Tale fenomeno è detto effetto tunnel.**

# LA PARTICELLA SOGGETTA AD UN GRADINO DI POTENZIALE (L'effetto TUNNEL)



$$\alpha = \sqrt{\frac{2mE}{\hbar^2}}$$

$$\gamma = \sqrt{\frac{2m(V_0 - E)}{\hbar^2}}$$

Figure 4.6. Finite potential barrier.

$$\Psi_I(x) = Ae^{i\alpha x} + \frac{(i\alpha + \gamma)}{(i\alpha - \gamma)} Ae^{-i\alpha x}$$

$$\Psi_{II}(x) = \frac{2i\alpha}{(i\alpha - \gamma)} Ae^{-\gamma x}$$

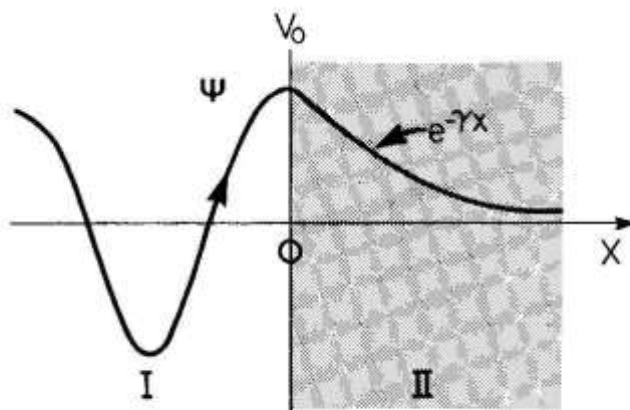
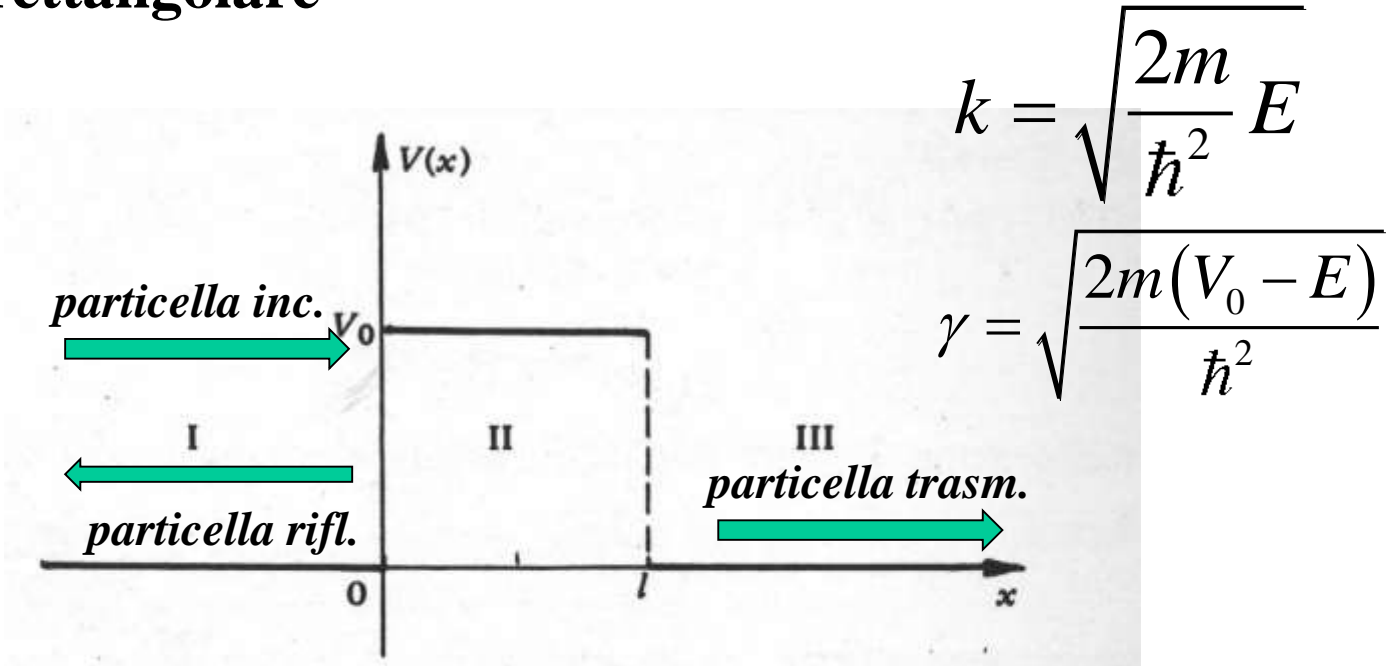


Figure 4.7.  $\psi$ -Function meeting a potential barrier.

# Particella soggetta ad una barriera di potenziale rettangolare



$$\Psi_I(x) = Ae^{ikx} + Be^{-ikx} \quad x < 0$$

$$\Psi_{III}(x) = Ce^{ikx} \quad x > l$$

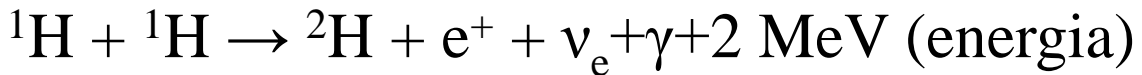
$$\frac{C}{A} = \frac{4ik\gamma e^{(\gamma - ik)l}}{(\gamma + ik)^2 - (\gamma - ik)^2 e^{2\gamma l}} \quad \left| \frac{C}{A} \right|^2 \text{ prob. trasm.}$$

$$\frac{B}{A} = \frac{(\gamma^2 + k^2)(1 - e^{2\gamma l})}{(\gamma + ik)^2 e^{2\gamma l} - (\gamma - ik)^2} \quad \left| \frac{B}{A} \right|^2 \text{ prob. rifl.}$$

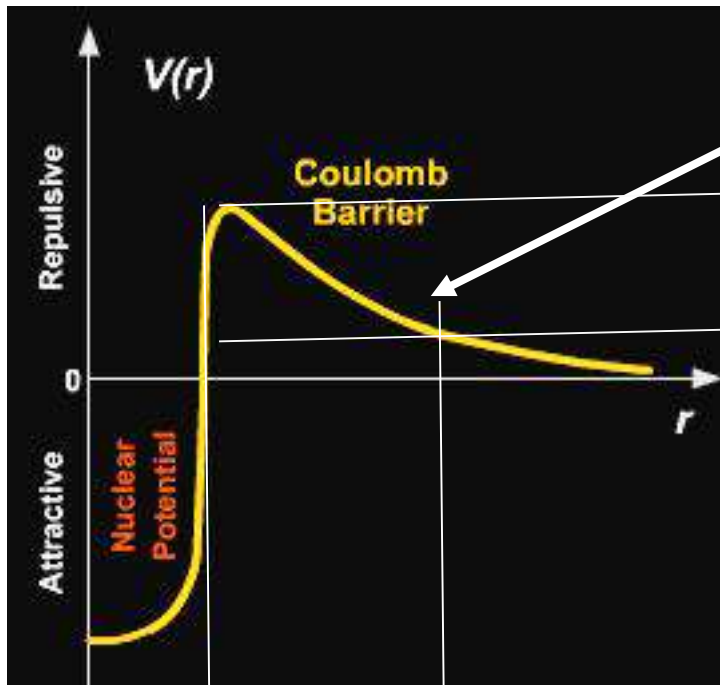
# Fusione nucleare dentro il sole

(Gamow 1929- Bethe 1939)

Due nuclei di idrogeno  $^1\text{H}$  (protoni) si fondono per formare deuterio  $^2\text{H}$ , rilasciando un positrone (poiché un protone è diventato un neutrone) ed un neutrino



Questo primo passaggio è estremamente lento perché i due protoni si leghino è necessario superare la barriera di repulsione elettrostatica (e ciò può avvenire unicamente per effetto tunnel, che ha una probabilità bassa anche se non nulla).



$$V(r) = \frac{e^2}{4\pi\epsilon_0 r}$$

$$2,3 \cdot 10^{-12} \text{ J} = 14 \text{ MeV}$$

1,9 keV    energia cin.  
di H nel nucleo

$10^{-15} \text{ m}$      $10^{-13} \text{ m}$

La temperatura del sole varia da 6000 K sulla superficie a **15 milioni di K nel nucleo** dove la densità dell'H vale  $\rho_H=150 \text{ g/cm}^3$ .

La fusione avviene nel nucleo dove

$$\frac{3}{2}k_B T = V(r) = \frac{e^2}{4\pi\epsilon_0 r} \quad r \approx 10^{-13} \text{ m}$$

Tenuto conto che la densità di H al  $\text{cm}^3$  vale circa  $N_H = \rho_H / \text{massa protone} = 10^{26} \text{ H/cm}^3$ , usando la teoria cinetica classica del gas ideale troviamo una frequenza di urti per singolo atomo di  **$f=6 \cdot 10^{18} \text{ urti/s}$** .

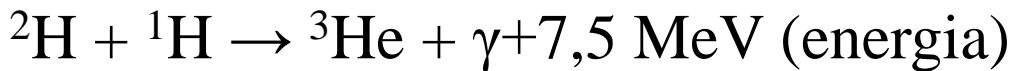
Dalla teoria dell'effetto tunnel per una barriera di potenziale rettangolare di altezza **14 MeV** e **larghezza di  $10^{-13} \text{ m}$**  otteniamo una probabilità di trasmissione  **$T=10^{-36}$**

Quindi la probabilità per unità di tempo che un H superi la barriera vale  **$\text{prob} = T \cdot f$**

Quindi il protone deve aspettare un tempo pari a  **$1/\text{prob} = 10^9 \text{ anni} = 5 \cdot 10^{16} \text{ s}$**  prima di fondersi in deuterio.

Ma a causa dell'alta concentrazione di H il numero totale di reazioni è  $N_R = N_H T f = 10^9 \text{ fusioni / s cm}^3$

Dopo la produzione di deuterio in una stella giovane e ricca di H si può avere la fusione con un altro nucleo di idrogeno per produrre un isotopo leggero dell'  $^3\text{He}$ :



Da qui ci sono differenti vie che portano alla formazione dell'isotopo dell'elio  $^4\text{He}$ .



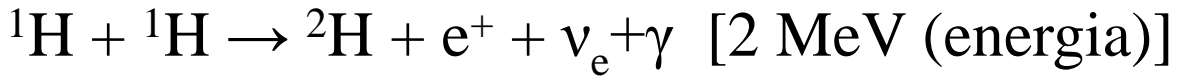
In questo caso l'elio-3 reagisce direttamente con un protone per dare elio-4

Confrontando la massa dell'elio-4 finale con le masse dei quattro protoni si ottiene che lo 0,7% della massa originaria è persa. Questa massa è convertita in energia, sotto forma di raggi gamma e di neutrini rilasciati durante le reazioni individuali.

L'energia totale che si ottiene da un ramo intero è di **26,73 MeV.**



## Calcolo bilanci energetici



$$[2 \text{ massa (H)} - \text{massa} ({}^2\text{H})]c^2 = 2 \text{ MeV}$$

$$2 * (1,00794 \text{ uma}) * 1,66 \cdot 10^{-27} \text{ kg} = 2 \text{ massa (H)}$$

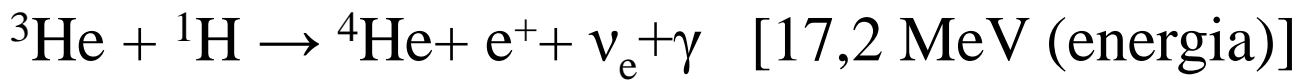
$$2,01363 \text{ uma} * 1,66 \cdot 10^{-27} \text{ kg} = \text{massa} ({}^2\text{H})$$



$$[\text{massa(H)} + \text{massa} ({}^2\text{H})]c^2 - \text{massa} ({}^3\text{He})c^2 = 7,5 \text{ MeV}$$

$$1,00794 \text{ uma} * 1,66 \cdot 10^{-27} \text{ kg} = \text{massa (H)}$$

$$2,01363 \text{ uma} * 1,66 \cdot 10^{-27} \text{ kg} = \text{massa} ({}^2\text{H})$$



Supponiamo che nel sole prevalgano le prime 2 reazioni (stella giovane con molto H).

Calcoliamo l'energia rilasciata e confrontiamola con la misura.

Nucleo solare  $R_{NS} = 150000 \text{ km}$

$$Potenza(sole) = \frac{4}{3} \pi R_{NS}^3 N_R (en.emessa) \approx 2 \cdot 10^{26} - 10^{27} \text{ J / s}$$

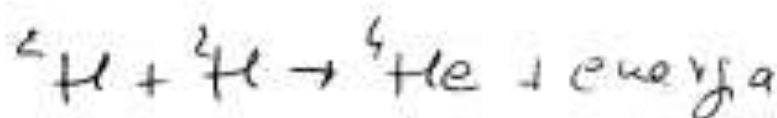


$$2 \text{ MeV} < en. emessa < 9,5 \text{ MeV}$$

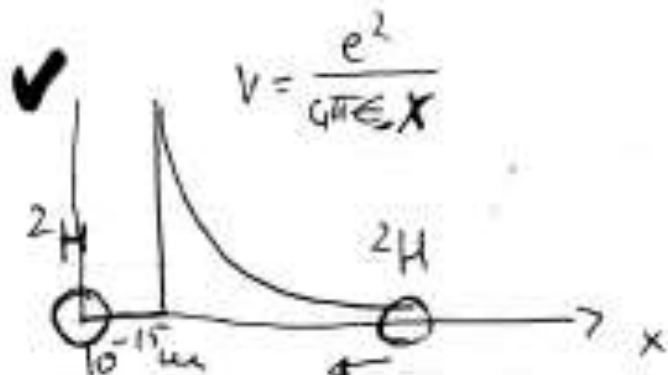
Il valore misurato è

$$Potenza(sole, mis.) = 3,86 \cdot 10^{26} \text{ J / s}$$

## Fusione nucleare



$$m({}^4\text{He}) < 2m({}^2\text{H}) \quad \Delta mc^2 = \text{energia}$$



$$V(10^{-15} \text{ m}) \approx 2 \cdot 10^{-13} \text{ J} \sim 10^6 \text{ eV} = 1 \text{ MeV}$$

Quale temperatura devono avere 2 nuclei per dimenarsi a  $10^{-15} \text{ m}$ ?

$$\frac{3}{2} k_B T = 2 \cdot 10^{-13} \text{ J} \quad k_B = 1.38 \cdot 10^{-23} \frac{\text{J}}{\text{K}}$$

$$T \sim 10^{10} \text{ K}$$

$$\text{Nel sole } T = 6000 \text{ K} \rightarrow 10^6 \text{ K}$$

Massimo 3 ordini  
di grandezza!!

Quanto si avvicinano gli H?

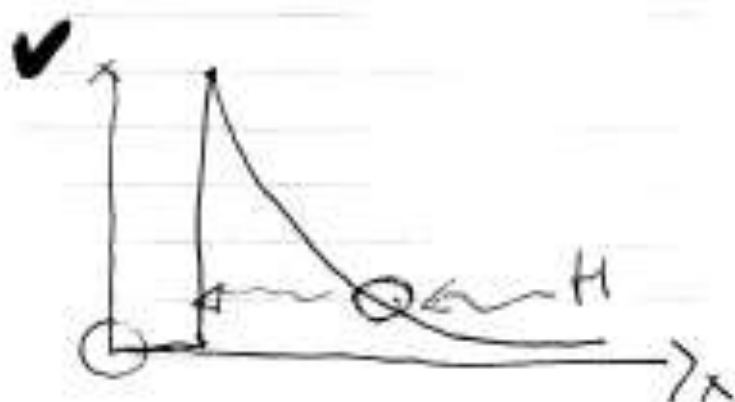
Ridurre l'epozone

$$\frac{3}{2} k_B T = \frac{e^2}{4\pi\epsilon_0 x}$$

$$\underline{x \approx 100 \cdot 10^{-15} \text{ m}}$$

Un fattore 100 più lontano

Allo stesso tempo l'effetto tunnel

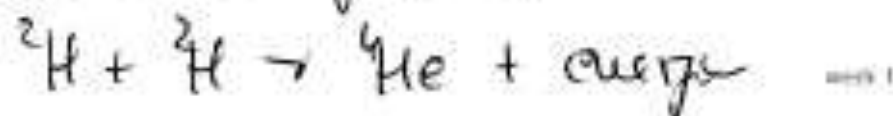


La probabilità è molto bassa ma

c'è una certa chance che si

verifichi un tunneling.

Questo basta a dare un numero  
grande di fusioni



# Modello del NUCLEO ATOMICO

## Modello Protone-Neutrone

Heisenberg ipotizzò nucleo formato da  $Z$  protoni e  $A-Z$  neutroni.

Modello semplice: nucleoni tenuti assieme da *forza nucleare* a corto range. Si spiega con questo modello: il momento angolare, la radioattività e altre evidenze sperimentali; la *forza nucleare* ha una natura complessa.

Fermi Energy

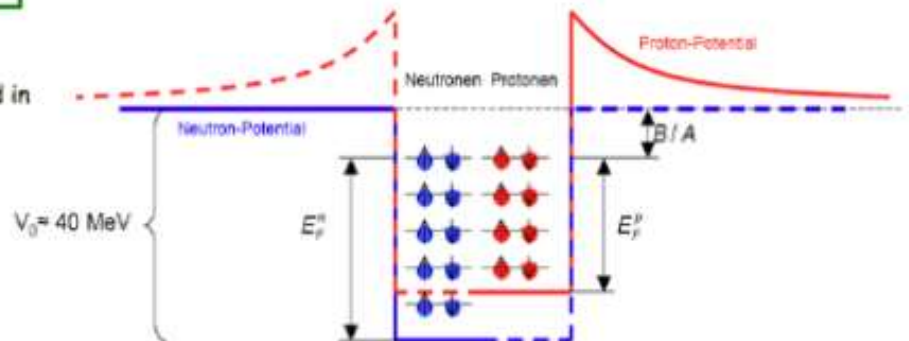
$$E_F = \frac{p_F^2}{2m_N} \approx 33 \text{ MeV}$$

Binding Energy:  $BE/A = 7-8 \text{ MeV}$

$V_0 = E_F + BE/A \approx 40 \text{ MeV}$

→ Nucleons are rather weakly bound in the nucleus

The *neutron* potential well is deeper than the *proton* well because of the missing Coulomb repulsion. The Fermi Energy is the same, otherwise the  $p \rightarrow n$  decay would happen spontaneously. This implies that there are more neutrons states available and hence  $N > Z$  the heavier the nuclei become.



# Modello del nucleo di uranio

Uranio:  $\text{U}^{238}_{92}$       numero di massa  **$Z=238$**

numero atomico  
 **$A=92$**

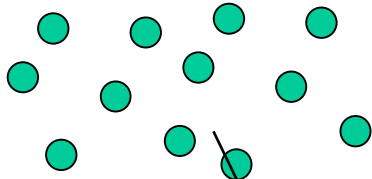
$$m_p = 1,672 \cdot 10^{-27} \text{ kg}$$

$$m_n = 1,674 \cdot 10^{-27} \text{ kg}$$

$$M(\text{nucl}) = \left[ m_p Z + m_n (A - Z) \right]$$

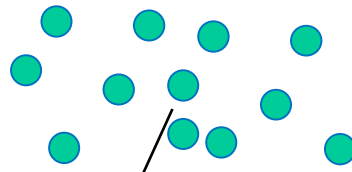
$$m(\text{U}^{238})$$

$$M(\text{nucl.}) = [m_p Z + m_n (A - Z)]$$



**A** protoni

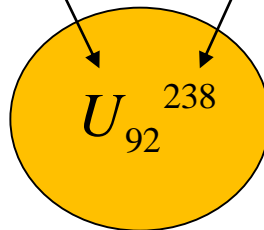
$$m_p = 1,673 \cdot 10^{-27} \text{ kg}$$



**Z-A** neutroni

$$m_n = 1,675 \cdot 10^{-27} \text{ kg}$$

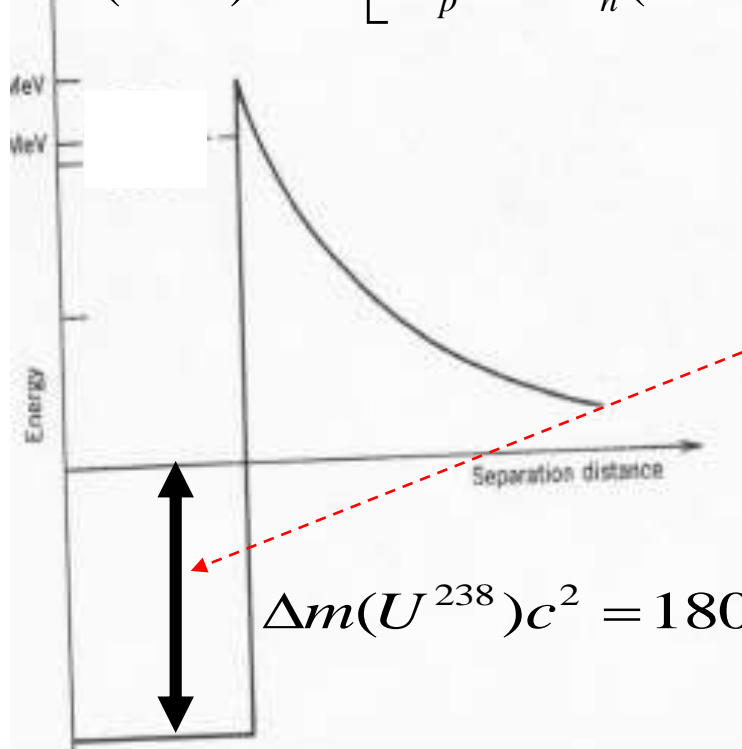
*nucleoni si legano per formare il nucleo*



$m(U^{238})$

$$\Delta m(U^{238}) = [m_p Z + m_n (A - Z)] - m(U^{238})$$

$$\Delta m(U^{238})c^2 = [m_p Z + m_n (A - Z)]c^2 - m(U^{238})c^2$$



*La differenza di massa si trasforma in energia cinetica del nucleo che trasla*

$$\Delta m(U^{238})c^2 = 1804 \text{ MeV}$$

# Decadimento dell'uranio

Uranio:  $U^{238}_{92}$  numero di massa Z

L'uranio 238 decade secondo la reazione



La massa mancante nei 3 nuclei, rispetto la massa dei nucleoni liberi vale

$$\Delta m(U^{238}) = [m_p Z + m_n (A - Z)] - m(U^{238})$$

$$\Delta m(Th^{234}) = [m_p Z + m_n (A - Z)] - m(Th^{234})$$

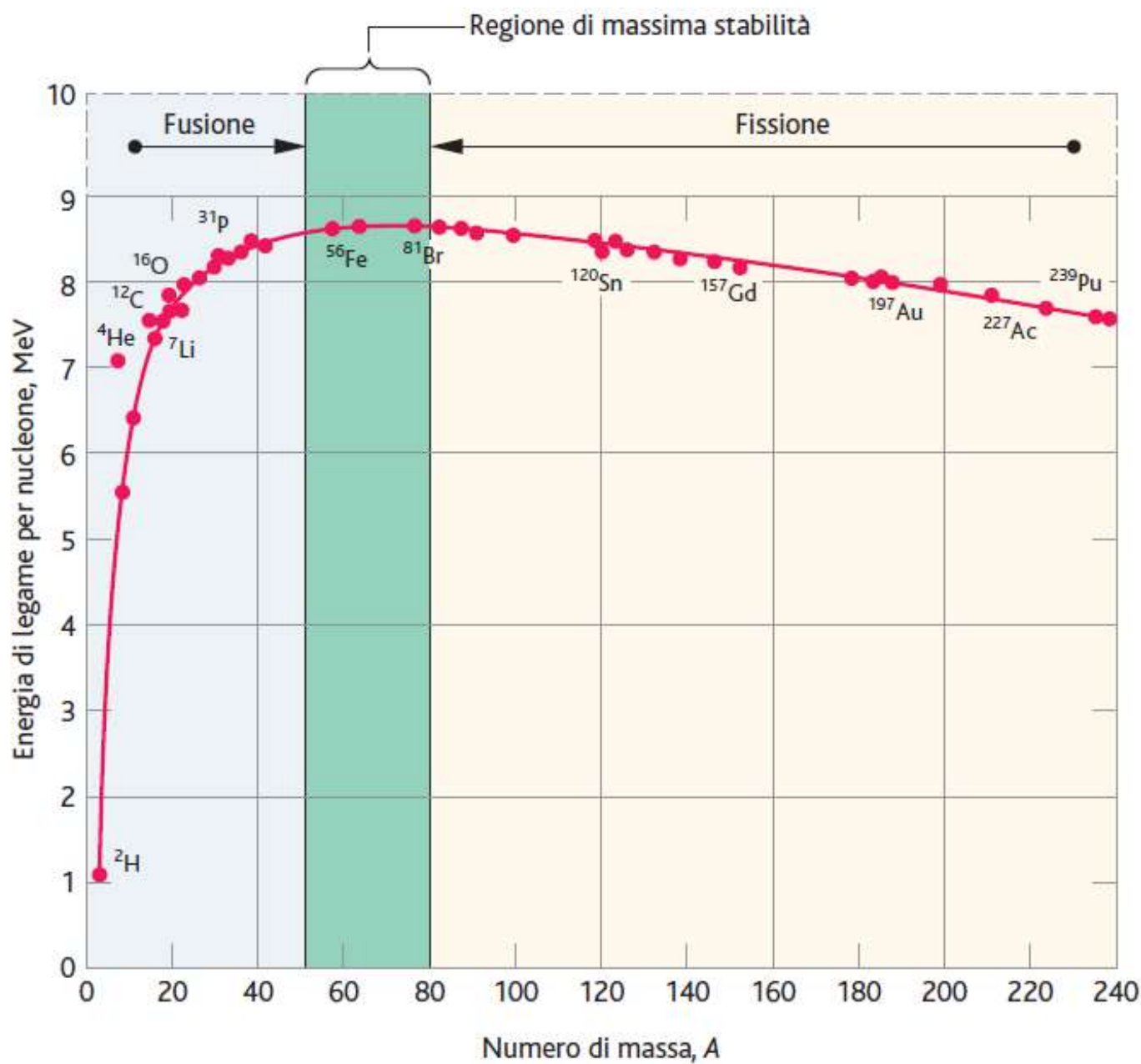
$$\Delta m(He^4) = [m_p Z + m_n (A - Z)] - m(He^4)$$

$$\frac{\Delta m(U^{238})c^2}{A(U^{238})} = 7,58 MeV$$

$$\frac{\Delta m(Th^{234})c^2}{A(Th^{234})} = 7,62 MeV$$

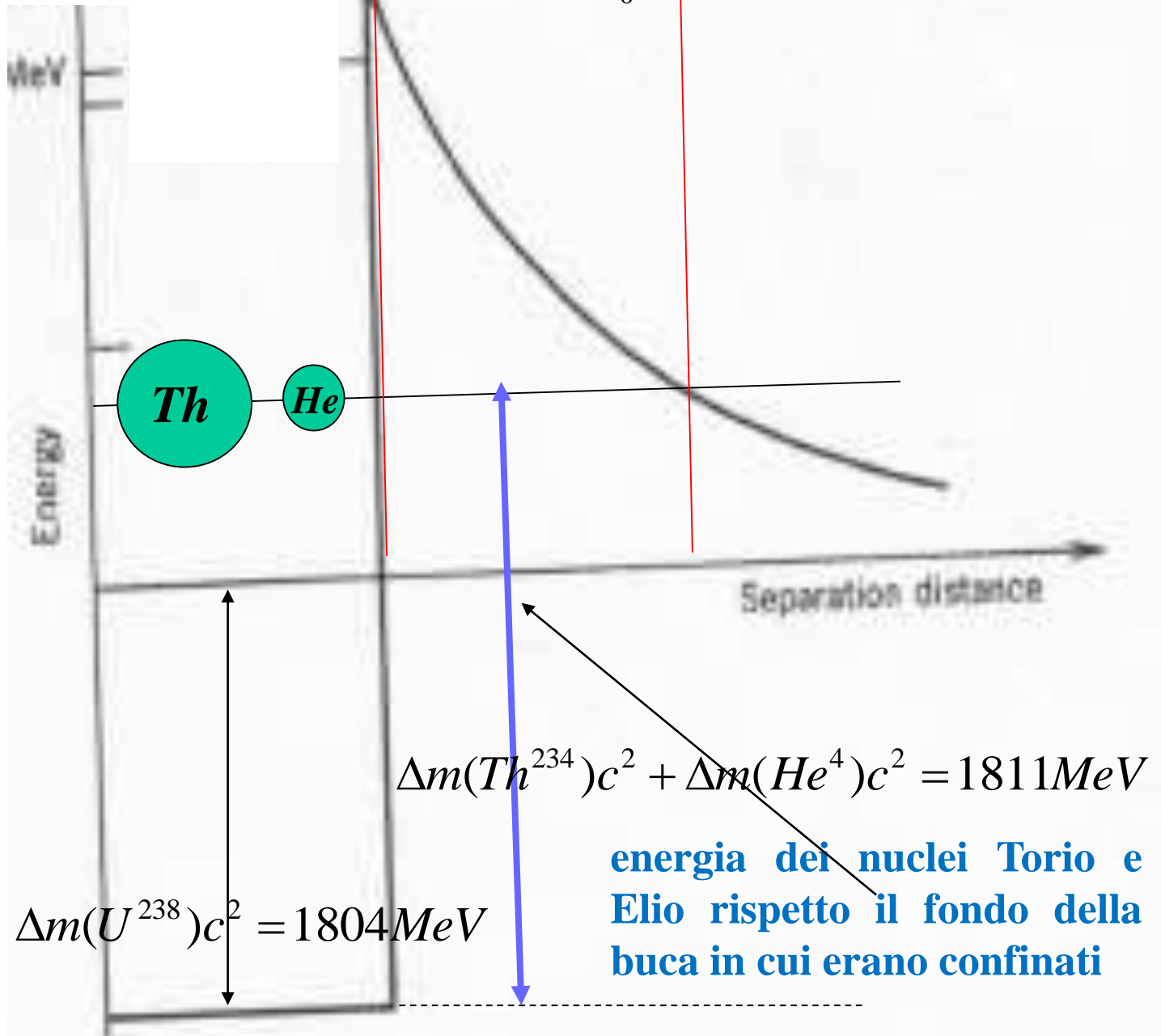
$$\frac{\Delta m(He^4)c^2}{A(He^4)} = 7,07 MeV$$





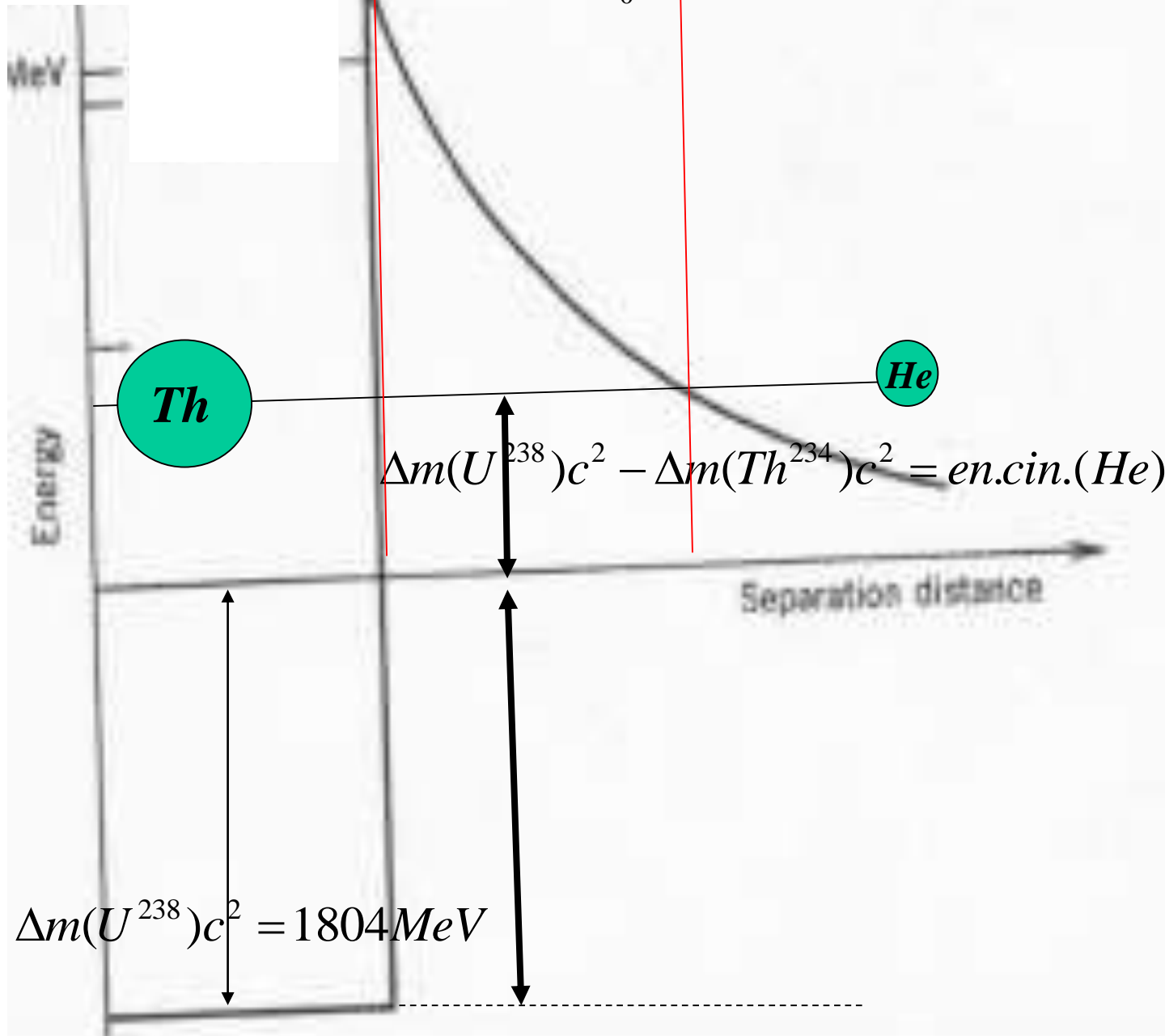
# Decadimento dell'uranio

$$21\text{MeV} = \frac{e^2}{4\pi\epsilon_0} \frac{Z(\text{He})Z(\text{Th})}{R}$$



# Decadimento dell'uranio

$$21\text{MeV} = \frac{e^2}{4\pi\epsilon_0} \frac{Z(\text{He})Z(\text{Th})}{R}$$



- La fissione nucleare è il processo nucleare in cui nuclei pesanti decadono in nuclei più leggeri.
- In questo tipo di reazione la somma della massa dei nuovi nuclei costituiti ha massa minore della massa di partenza, con conseguente liberazione di energia (cinetica dei prodotti).
- Quando un nucleo di materiale fissile è bombardato da un neutrone lento si fissiona producendo due o più nuclei più piccoli.
- Gli isotopi prodotti da tale reazione sono radioattivi in quanto posseggono un eccesso di neutroni e decadono in una successione di decadimenti fino ad arrivare ad una configurazione stabile.
- Tipicamente dalla fissione vengono prodotti altri neutroni, e si può ottenere una reazione a catena.